

## Development of Inhibitors of $\beta$ -Amyloid Plaque Formation

Dong Jin Kim

*Life Science Division, Korea Institute of Science and Technology, P.O. Box 131 Cheongryang, Seoul 130-650,*

djk2991@kist.re.kr

Alzheimer's disease (AD) is the most common form of dementia in the aging population and is clinically characterized by a progressive loss of cognitive abilities. Pathologically, it is defined by the appearance of senile plaques - extracellular insoluble, congophilic protein aggregates composed of amyloid  $\beta$  (A $\beta$ ) and neurofibrillary tangles (NFTs) – intracellular lesions consisting of paired helical filaments from hyperphosphorylated cytoskeletal tau protein as described by Alois Alzheimer a century ago. These hallmarks still serve as the major criteria for a definite diagnosis of the disease. Consequently, one of the key strategy for drug development in this disease area focuses on reducing the concentration of cerebral A $\beta$  plaque by using substances that inhibit A $\beta$  fibril formation.

We focused on developing inhibitors by synthesizing several kinds of aromatic molecules. The synthetic compounds were initially screened to evaluate the effective compound by tioflavin T fluorescence assay. The selected effective compounds were tested cytotoxicity and protective effect from A $\beta$ -induced neuronal toxicity by cell based MTT assay with HT22 hippocampal neurons. The BBB permeability on effectors was also tested in in vitro co-culture model (HUVEC/C6 cell line). The behavior test was carried out in mutant APP/PS1 transgenic mouse model of Alzheimer's disease. And inhibition of A $\beta$  fibril formation by the effective compound was monitored with transmitted electron microscopic images.

# Development of Inhibitors of $\beta$ -Amyloid Plaque Formation

KIST

2006. 4. 26

Dong Jin Kim



1994년 11월 5일 그는 “내 생애의 황혼으로 이끌어 갈 여행을 시작한다”며 알츠하이머병을 알고 있음을 알린 후 10년 만인 2004년 6월 5일 그 생을 마감하여 미 캘리포니아주 시미밸리의 '로널드 레이건

친애하는 미국인 여러분

나는 최근에 본인이 알츠하이머병에 걸린 수백만 미국인들 중의 한명이 되었다는 이야기를 들었습니다. 이 사실을 알고 낸시와 나는 이 사실을 우리와 개인적인 비밀로 할 것인가 아니면 여러 사람들에게 알릴 것인가를 결정해야 했습니다. (중략) 우리는 이러한 것을 여러분들과 나누는 것이 중요하다고 느낍니다. 우리는 내가 알츠하이머병에 걸렸다는 사실을 여러분들에게 알림으로써 이 병에 대한 보다 많은 관심이 유발되기를 진심으로 바랍니다. 이렇게 함으로써 이 병으로 고생하는 환자와 그 가족들에 대한 이해를 높일 수 있을 것입니다. (중략) 불행하게도 내가 알고 있는 알츠하이머병이 점차 심해지면 가족들이 힘든 고통을 겪을 것입니다. 나는 내 아내 낸시를 이 고통스러운 경험에서 구할 수 있는 어떤 방법이 있기를 바랍니다. 그 때가 오면 여러분들의 도움으로 그녀는 믿음과 용기를 가지고 굳게 맞설 것이라고 믿습니다.



마지막으로 나에게 이 나라의 대통령으로써 일할 수 있었던 큰 영광을 준 여러분들께 감사드립니다. 언제일지 모르나 하나님께서 당신의 집으로 나를 부를 때, 나는 조국에 대한 깊은 사랑과 조국의 장래에 대한 영원한 희망을 가지고 떠날 것입니다. 이제 나는 내 인생의 황혼기로의 여행을 시작합니다. 미국의 앞날에는 항상 밝은 아침이 있을 것임을 믿습니다. 감사합니다.

친구들! 신의 축복이 있기를 기원합니다.

로널드 레이건



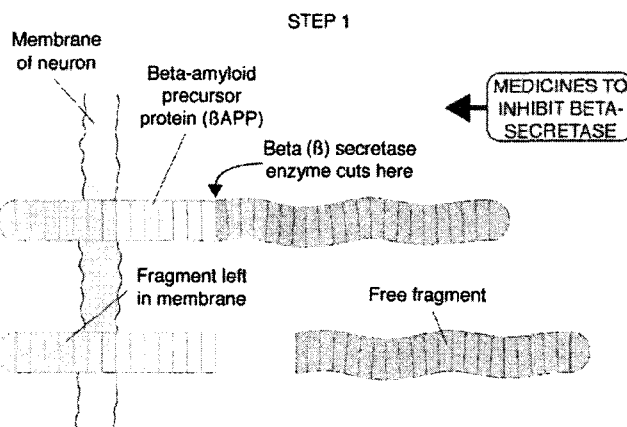
## Alzheimer's Disease (AD)

- 1907년 독일인 의사 Alois Alzheimer 에 의해 발견
- 기억력 장애와 편집증적인 망상을 보인 뇌신경질환을 앓다가 사망한 51세의 환자
- 병리학적인 부검소견상
  - Senile Plaque (노인성 반)  
 $\beta$ -Amyloid ( $A\beta$ )
  - Neurofibrillary Tangle  
(NFT, 신경섬유 둥치)  
*Tau protein*



KIST

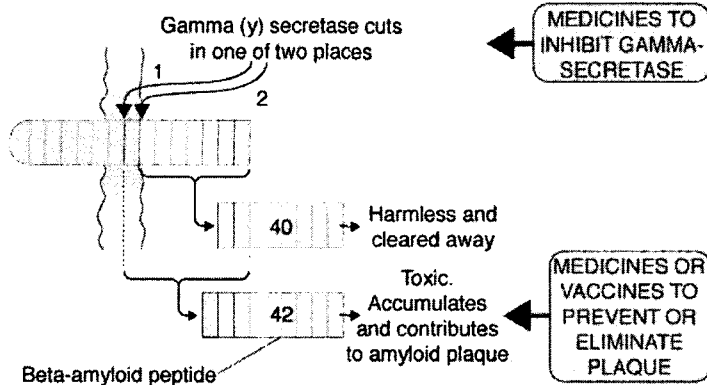
## $\beta$ -Amyloid



KIST

## $\beta$ -Amyloid

### STEP 2



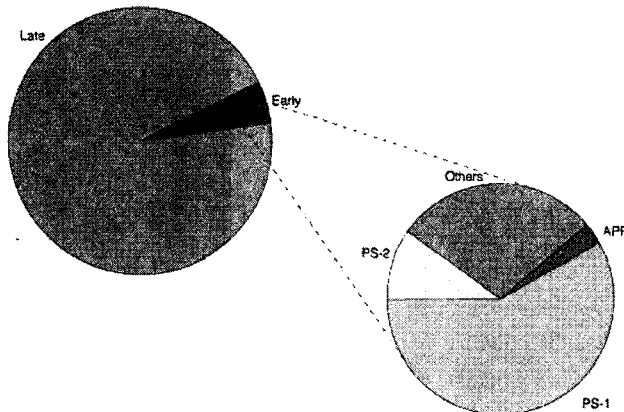
KST

## Anti-amyloid strategies

| Drug Class                     | Aim                                                            | Pros                                                              | Cons                                                                         |
|--------------------------------|----------------------------------------------------------------|-------------------------------------------------------------------|------------------------------------------------------------------------------|
| $\beta$ -Secretase inhibitors  | Decrease A $\beta$ synthesis                                   | BACE KO mouse are normal                                          | In human ?                                                                   |
| $\gamma$ -Secretase inhibitors | Decrease A $\beta$ synthesis                                   | Decrease A $\beta$ in mouse model                                 | Side-effects associated with lack of other membrane proteins                 |
| Metal chelators                | Prevention of aggregate formation by metal chelation (Zn, Cu)  | In mouse model, decrease A $\beta$ plaque                         | Harm the brain<br>Clioquinol in combination with Vitamin B12 is in clinical. |
| A $\beta$ fibril inhibitor     | Prevention of aggregate formation                              | In vitro, decrease A $\beta$ plaque                               | ?                                                                            |
| A $\beta$ vaccination          | Immune response against A $\beta$ peptide                      | In TG mouse, decrease A $\beta$ plaque improve cognitive function | Phase II suspended (brain inflammation)                                      |
| Statins                        | Decrease A $\beta$ by reducing cholesterol (mechanism unknown) | Reduced risk of developing AD in patients treated with statins    | ?                                                                            |
| NSAIDs                         | Inhibition of A $\beta$ generation                             | Reduced risk of developing AD in patients treated with NSAIDs     | Side-effects at the gastrointestinal tract following prolonged treatment     |

KST

## Relative Frequency Related to Gene Mutation



KST

## Animal Model (TG Mouse)

| Model       | Characteristics                                             | Remark       |
|-------------|-------------------------------------------------------------|--------------|
| Apoe E4     | Impaired spatial learning & memory<br>in 14 months          | Jackson Lab. |
| Psen I      | Major gene early-onset familiar AD<br>No A $\beta$ deposits | Jackson Lab. |
| App2576     | A $\beta$ deposits in 12 months                             | Jackson Lab. |
| App-Psen I  | A $\beta$ deposits in 6–7 months                            | Jackson Lab. |
| Psen II     | No A $\beta$ deposits                                       | KFDA         |
| App-Psen II | A $\beta$ deposits in 8 months                              | KFDA         |

KST

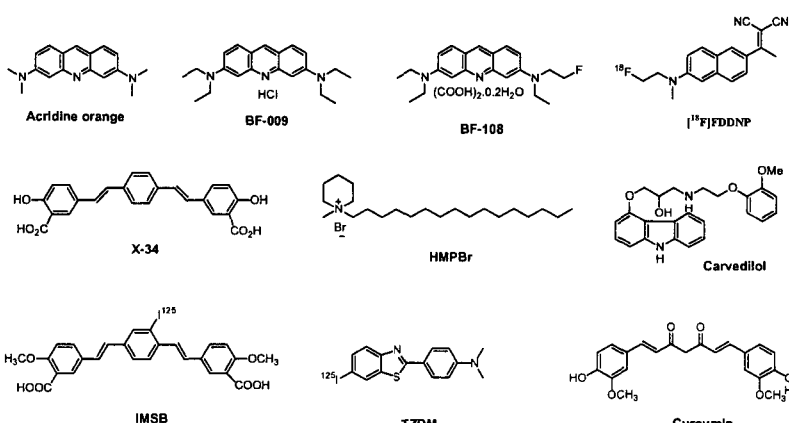
## Inhibitors of A<sub>β</sub> Fibril Formation

| Compound                | IC50               | A <sub>β</sub>             | Remarks                                 |
|-------------------------|--------------------|----------------------------|-----------------------------------------|
| Acridine orange         | 32nM <sup>a</sup>  | A <sub>β</sub> 40 (5μM)    | <i>Neuroscience Research, 2004, 65.</i> |
| BF-009                  | 167nM <sup>a</sup> | A <sub>β</sub> 40 (5μM)    |                                         |
| BF-008                  | 135nM <sup>a</sup> | A <sub>β</sub> 40 (5μM)    |                                         |
| [ <sup>18</sup> F]FDDNP | 457nM <sup>a</sup> | A <sub>β</sub> 40 (5μM)    |                                         |
| X-34                    | 452nM <sup>a</sup> | A <sub>β</sub> 40 (5μM)    |                                         |
| HMPBr                   | 150μM <sup>b</sup> | A <sub>β</sub> 40 (11.6μM) | <i>Biochem. J. 1999, 283.</i>           |
| Doxorubicin             | 30μM <sup>b</sup>  | A <sub>β</sub> 40 (11.6μM) |                                         |
| Carvedilol              | 30μM <sup>b</sup>  | A <sub>β</sub> 40 (11.6μM) |                                         |
| SKF-74652               | 28μM <sup>b</sup>  | A <sub>β</sub> 40 (11.6μM) |                                         |
| Daunomycin              | 30μM <sup>b</sup>  | A <sub>β</sub> 40 (11.6μM) |                                         |
| Rolitetracycline        | 59μM <sup>b</sup>  | A <sub>β</sub> 40 (11.6μM) |                                         |
| Benzoquinone            | 47μM <sup>b</sup>  | A <sub>β</sub> 40 (11.6μM) |                                         |

a : ThT assay

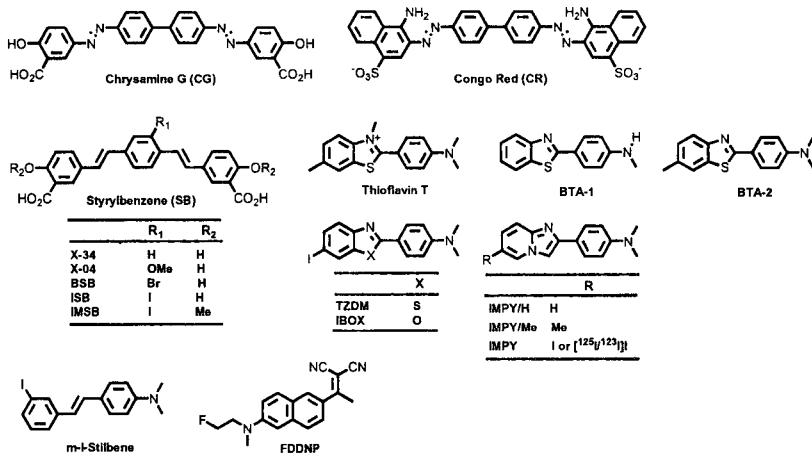
b : Immunoassay

KIST  
Korean Institute of Science and Technology



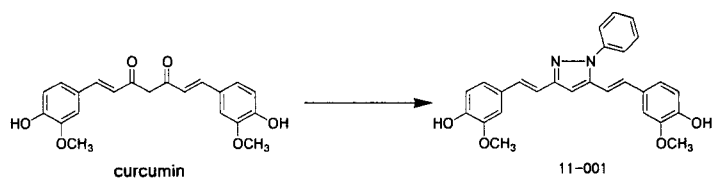
KIST  
Korean Institute of Science and Technology

## Amyloid-fibril specific Agents



K<sup>1</sup>T

## Curcumin



- Neuroprotective Effect
  - HT22 cell, glutamate oxidative stress
  - Rat primary cortical neurons cultured
  - Rat primary cortical neurons cultured

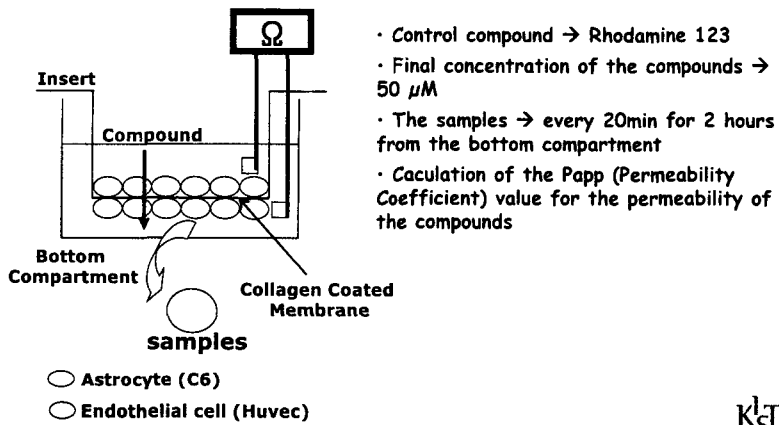
WO 2005/006945

- BBB penetration in mouse

K<sup>1</sup>T

## In Vitro BBB Model

### → In Vitro Co-Culture Models of the BBB



## In silico BBB



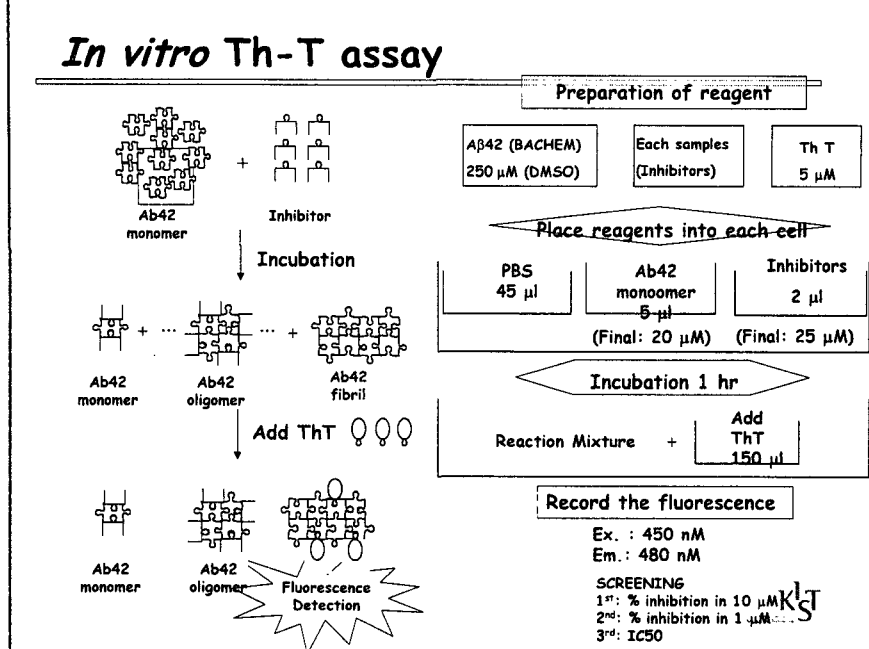
| X | R <sub>1</sub>   | AlogP R <sub>2</sub> |                   |                                  | BBB             |                   |                                  |
|---|------------------|----------------------|-------------------|----------------------------------|-----------------|-------------------|----------------------------------|
|   |                  | NH <sub>2</sub>      | NHCH <sub>3</sub> | N(CH <sub>3</sub> ) <sub>2</sub> | NH <sub>2</sub> | NHCH <sub>3</sub> | N(CH <sub>3</sub> ) <sub>2</sub> |
| N | OCH <sub>3</sub> | 4.0                  | 5.1               | 5.8                              | 0.06            | 4.3               | 0.32                             |
| C | OCH <sub>3</sub> | 4.3                  | 5.4               | 6.1                              | 0.26            | 10.0              | 3.5                              |

| X | R <sub>2</sub>   | AlogP R <sub>1</sub> |                   |                                  | BBB             |                   |                                  |
|---|------------------|----------------------|-------------------|----------------------------------|-----------------|-------------------|----------------------------------|
|   |                  | NH <sub>2</sub>      | NHCH <sub>3</sub> | N(CH <sub>3</sub> ) <sub>2</sub> | NH <sub>2</sub> | NHCH <sub>3</sub> | N(CH <sub>3</sub> ) <sub>2</sub> |
| N | OCH <sub>3</sub> | 4.0                  | 5.1               | 5.8                              | 0.06            | 4.3               | 0.32                             |
| C | OCH <sub>3</sub> | 4.3                  | 5.4               | 6.1                              | 0.26            | 10.0              | 3.4                              |

NH<sub>2</sub> < NHCH<sub>3</sub> < N(CH<sub>3</sub>)<sub>2</sub>

KIST

## In vitro Th-T assay

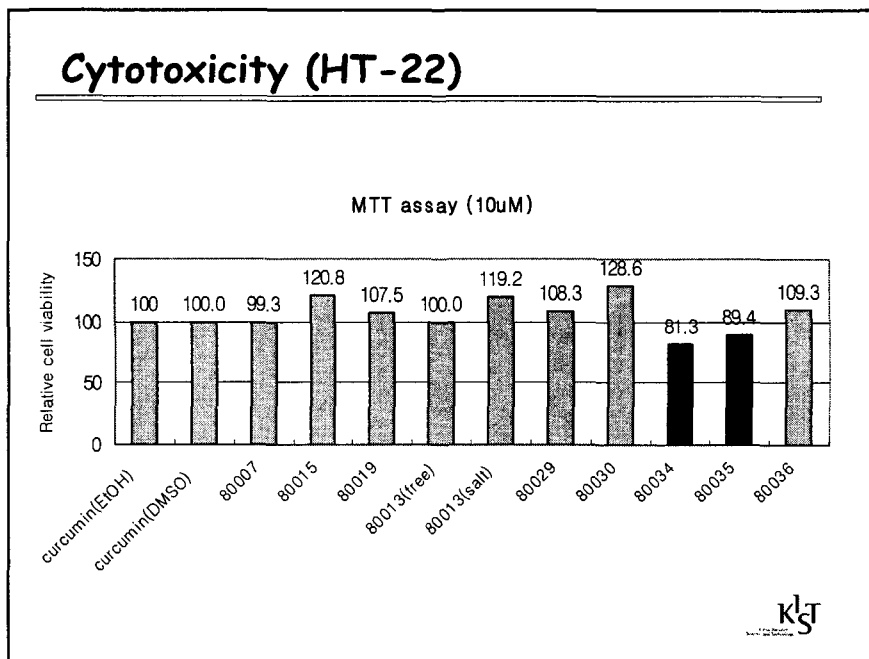
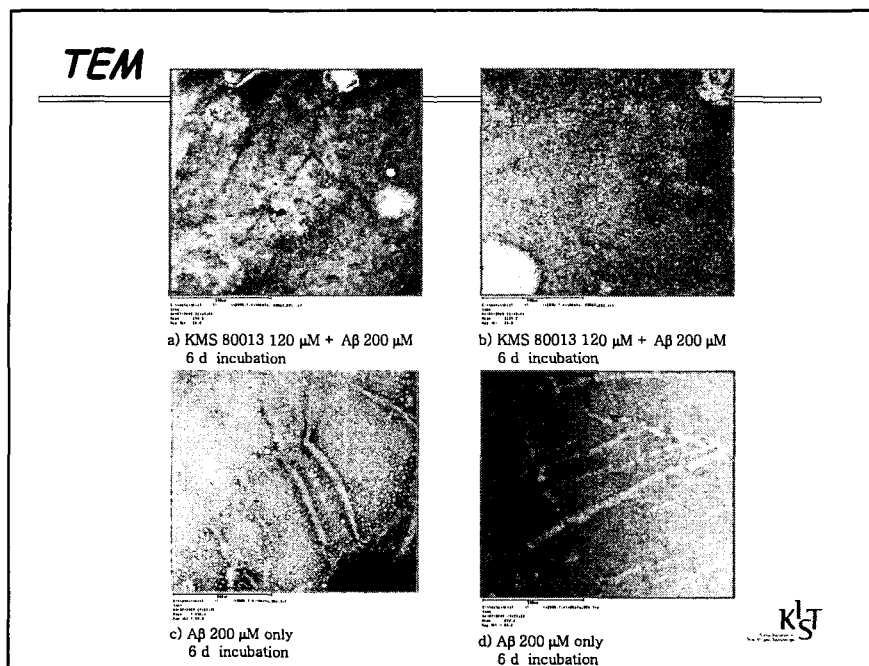


• Ab42 (25 µM)

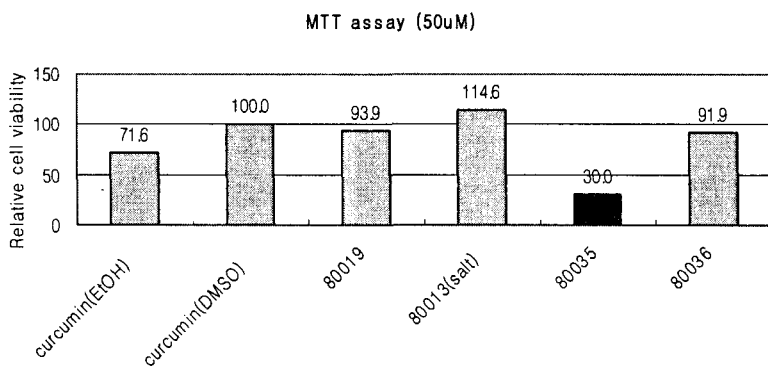
| Compound        | X=N              |                  | X=C              |    | IC <sub>50</sub> <sup>-1</sup><br>(mM) | <i>In silico</i><br>AlogP | <i>In vitro</i><br>BBB<br>(papp) |
|-----------------|------------------|------------------|------------------|----|----------------------------------------|---------------------------|----------------------------------|
|                 | R1               | R2               | R1               | R2 |                                        |                           |                                  |
| KMS80007        | OMe              | OH               |                  |    | 0.8                                    |                           |                                  |
| KMS80018        | OMe              | NH <sub>2</sub>  |                  |    | 0.7                                    | 4.0                       |                                  |
| KMS80029        | OMe              | NHMe             |                  |    | 0.5                                    | 5.1                       |                                  |
| KMS80019        | OMe              | NMe <sub>2</sub> |                  |    | 0.8                                    | 5.8                       | 6.6                              |
| KMS80017        | NH <sub>2</sub>  | OMe              |                  |    | 0.6                                    | 4.0                       |                                  |
| KMS80034        | NHMe             | OMe              |                  |    | 1.1                                    | 5.1                       |                                  |
| KMS80035        | NMe <sub>2</sub> | OMe              |                  |    | 1.1                                    | 5.8                       | 16.0                             |
| KMS80012        |                  | OMe              | NH <sub>2</sub>  |    | 0.6                                    | 4.3                       |                                  |
| KMS80030        |                  | OMe              | NHMe             |    | 0.6                                    | 5.4                       |                                  |
| KMS80013        |                  | OMe              | NMe <sub>2</sub> |    | 1.0                                    | 6.1                       | 67.0                             |
| KMS80014        |                  | NH <sub>2</sub>  | OMe              |    | 0.6                                    | 4.3                       |                                  |
| KMS80015        |                  | NHMe             | OMe              |    | 0.6                                    | 5.4                       | 7.2                              |
| KMS80036        |                  | NMe <sub>2</sub> | OMe              |    | 1.1                                    | 6.1                       |                                  |
| HMPBr           |                  |                  |                  |    | 90.0                                   |                           |                                  |
| IMSB            |                  |                  |                  |    | 8                                      |                           |                                  |
| Acridine orange |                  |                  |                  |    | 0.6                                    | 1.03                      |                                  |
| Curcumin        |                  |                  |                  |    | 0.5-0.8                                | 3.75                      |                                  |
| FDDNP           |                  |                  |                  |    | 0.4                                    |                           |                                  |
| PIB             |                  |                  |                  |    | 1.2                                    |                           |                                  |
| 11-011          |                  |                  |                  |    | 1.1                                    |                           |                                  |



K<sub>T</sub>  
ST



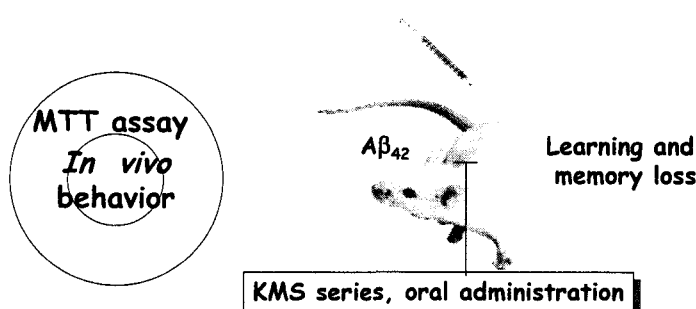
## Cytotoxicity (HT-22)



KLT

## In vivo behavior test

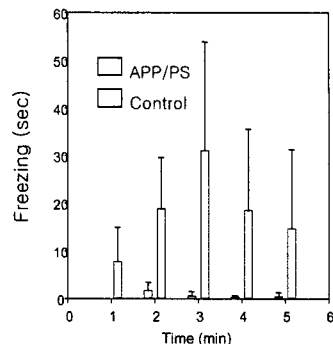
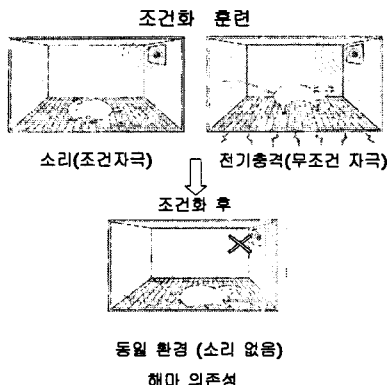
In *in vivo* learning assay, KMS series(KMS80013, KMS80019, KMS90036) were orally administered to APP/PSII transgenic mouse ( $A\beta$  deposits in 3 months).



KLT

## Fear Conditioning

### Contextual conditioning

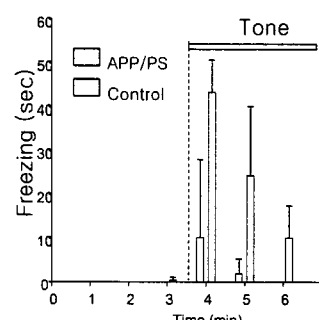
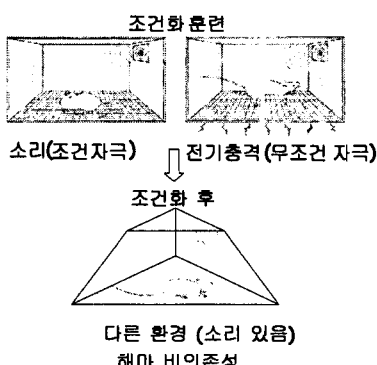


조건화 훈련 후 동일 환경(소리없음)에 처한 경우 control mouse는 freezing현상을 보이는 반면, APP/PS mouse는 거의 freezing 현상을 보이지 않음.

KIST

## Fear Conditioning

### Cue conditioning



조건화 훈련 후 다른 환경(소리있음)에 처한 경우 control mouse는 freezing현상을 보이는 반면, APP/PS mouse는 거의 freezing 현상을 보이지 않음.

KIST

## Acknowledgement

Seong Rim Byeon

Ji Hoon Lee

Hye Yun Kim

Ye Lim Kim

Prof. Inhee Mook-Jung (SNU)

Prof. Dae Soo Kim (KAIST)

PhD. Hanjo Kim (BMD)

